

SO₂로부터 원소 황 회수를 위한 Ce_{1-x}Zr_xO₂ 촉매반응연구

김봉석 · 이종대 · 박노국 · 류시옥 · 이태진[†] · 김재창*

영남대학교 응용화학공학부, 국가지정연구실

712-749 경북 경산시 대동 214-1

*경북대학교 화학공학과

702-701 대구시 북구 산격동 1370

(2003년 5월 21일 접수, 2003년 7월 31일 채택)

A Study of Ce_{1-x}Zr_xO₂ Catalytic Reaction for the Recovery of Elemental Sulfur from SO₂

Bong-Suk Kim, Jong-Dae Lee, No-Kuk Park, Si-Ok Ryu, Tae-Jin Lee[†] and Jae-Chang Kim*

National Research Laboratory, School of Chemical Engineering and Technology, Yeungnam University,

214-1 Dae-dong, Gyeongsan, Gyeongbuk 712-749, Korea

*Department of Chemical Engineering, Kyungpook National University, 1370 Sangyeok-Dong, Buk-Gu, Daegu 702-701, Korea

(Received 21 May 2003; accepted 31 July 2003)

요 약

Ce_{1-x}Zr_xO₂ 촉매상에서 CO에 의한 SO₂의 촉매환원으로부터 원소 황 회수 반응에 대하여 연구하였다. Ce_{1-x}Zr_xO₂ 촉매는 Ce/Zr 조성비를 x=1, 0.8, 0.5, 0.2, 0과 같이 조절하여 제조하였으며 반응온도(400-450 °C), 공간속도(10,000-70,000 h⁻¹) 변화에 따른 SO₂전화율과 원소 황(S)선택도를 조사하였다. Ce_{1-x}Zr_xO₂촉매의 최적반응온도는 425 °C 이었으며 공간속도 50,000 h⁻¹에서 Ce_{0.8}Zr_{0.2}O₂와 Ce_{0.5}Zr_{0.5}O₂ 촉매의 SO₂ 전환율이 93%, 원소 황 선택도 98%로 CeO₂, Ce_{0.2}Zr_{0.8}O₂ 촉매보다 반응성이 높았다. Ce_{1-x}Zr_xO₂촉매에 Zr의 첨가량이 증가할수록 CeO₂의 환원률이 증가되었으며, 이러한 결과는 산소 저장성이 우수한 CeO₂에 Zr를 첨가함으로써 산소이동성이 증가되었기 때문인 것으로 판단된다. 본 연구에서는 Zr의 첨가로부터 Ce-based 촉매의 격자산소 환원과 비어있는 격자산소 자리의 재산화에 영향을 주어 redox 반응특성을 개선할 수 있음을 확인하였다.

Abstract – The catalytic reduction of SO₂ to elemental sulfur with CO over Ce_{1-x}Zr_xO₂ was studied. The Ce_{1-x}Zr_xO₂ catalysts were prepared by changing the Ce/Zr mole ratio (x=1, 0.8, 0.5, 0.2, 0). The reactivity of Ce_{1-x}Zr_xO₂ in accordance with experimental conditions, such as reaction temperature (400-450 °C), space velocity (GHSV: 10,000-70,000 h⁻¹) were investigated. The conversion of SO₂ and the selectivity to elemental sulfur in the recovery of elemental sulfur from SO₂ using Ce_{0.8}Zr_{0.2}O₂ and Ce_{0.5}Zr_{0.5}O₂ catalysts were respectively about 93% and 98% at temperature about 425 °C, which were superior to other catalysts. It seems that the reactivity is influenced by the Ce/Zr mole ratio. From these results, it was concluded that the oxygen mobility of catalysts was increased with inserting the Zr. Because the reduction of lattice oxygen and reoxidation of Ce-based catalysts was improved by the adding Zr, it is possible to improve the redox characteristic.

Key words: DSRP, IGCC, Ce_{1-x}Zr_xO₂, Redox, Lattice Oxygen

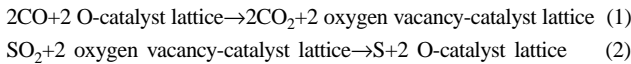
1. 서 론

차세대 대체에너지 기술중 하나인 석탄 가스화 복합 발전(IGCC) 시스템에 적용 가능한 고온 전식 탈황공정에서 황화된 탈황제를 산소분위기에서 재생할 경우 약 20,000-30,000 ppm 정도의 SO₂가 발생한다 [1]. 생성된 SO₂를 정제과정 없이 대기 중에 방출할 경우 산성비를 유발시키며 대기오염으로 인한 생태계의 파괴와 같은 문제를 야기 시킬 수 있다.

SO₂를 제거하는 방법으로는 습식방법과 건식방법으로 나누어져 있으며 각기 다양한 방법이 개발되어 있다. 이미 산업에서 많이 이용되고 있는 습식 탈황 공정은 넓은 설치면적과 폐수 발생 및 고형폐기물의 발생 등과 같은 추가적인 환경오염 문제가 발생하여 이를 대체할 수 있는 건식탈황방법들이 개발되었다. 최근 개발되고 있는 건식 탈황방법은 H₂, CO, CH₄ 또는 석탄가스화에 의해 생성된 합성가스(H₂+CO)등 다양한 환원제를 이용하여 촉매상에서 SO₂ 환원에 의한 원소 황을 직접 회수 하는 DSRP(Direct Sulfur Recovery Process) 공정이 연구되고 있다[2-5]. DSRP에서 생성된 원소 황은 저장 및 운송이 용이하며 추가적인 환경오염이 없을 뿐만 아니라 황산제조공업에서와 같이 화학원료로 사용할 수 있다는 장점을 가지고 있다.

[†]To whom correspondence should be addressed.
E-mail: tjlee@yu.ac.kr

DSRP용 촉매로는 알루미나에 전이금속(Cu, Fe, Mn, Cr, Pd, Ag, Ni 등)을 담지시킨 촉매가 많이 연구되고 있지만 Baglio 등은 대부분의 전이금속을 촉매로 사용한 반응에서 SO₂보다 인체에 더 유해한 COS가 발생한다고 보고 한 바 있다[6-8]. 최근에는 산소 저장성이 높은 cerium-based 촉매의 redox 반응특성을 이용하여 SO₂를 원소 황으로 회수하는 반응연구가 많이 진행되고 있다. Redox 반응기구는 식 (1)과 같이 CO 와 촉매 격자산소의 반응으로부터 CO₂생성과 함께 촉매의 환원에 의한 촉매격자의 빈 산소자리를 만들며, 비어있는 격자산소 자리는 식 (2)와 같이 SO₂가 제공한 산소에 의해서 산화되어 격자산소가 다시 채워지면서 SO₂가 직접 원소 황으로 전환되는 반응이다. 즉 redox 반응기구에서는 비어있는 격자산소자리가 활성점으로 사용된다.



이들 redox 반응기구에 의한 SO₂를 직접 원소 황으로 전환하기 위하여 CeO₂에 Cu, Ni, Co 등을 첨가한 촉매가 연구되었으며, 이들 촉매를 이용하여 400-500 °C의 반응온도 조건과 50,000 h⁻¹이상의 공간속도에서 반응성이 우수한 것으로 알려져 있다[9-10]. 결국 cerium이 주성분인 금속산화물 촉매의 redox 특성은 촉매표면 또는 격자의 산화 및 환원특성에 따라서 결정된다고 볼 수 있다.

CeO₂에 Zr를 첨가할 경우 격자산소의 이동성이 증가하는 것으로 알려져 있는데, 본 연구에서는 Ce과 Zr를 주성분으로 복합금속산화물에서 Ce/Zr 몰비를 변화시켜 Zr의 함량에 따른 Ce-based 촉매의 산화 및 환원특성을 조사하고, redox 반응특성으로부터 SO₂를 원소 황으로 전환시키기 위한 온도, 공간속도 그리고 Ce/Zr 함량비의 최적조건을 조사하였다.

2. 실험

2-1. Ce_{1-x}Zr_xO₂ 촉매 제조

Ce_{1-x}Zr_xO₂ 복합금속산화물 촉매는 citric complexation 방법으로 제조하였다. Ce과 Zr의 몰비에 따른 반응성을 조사하기 위해 Zr의 함량비를 0.0, 0.2, 0.5, 0.8, 1.0으로 조절하였으며, Ce과 Zr의 몰비에 따라 전구체(precursor)인 cerium nitrate hexahydrate [Ce(NO₃)₃·6H₂O, Aldrich Chem.] 와 zirconium nitrate oxide dihydrate [ZrO(NO₃)₂·2H₂O, Kanto Chem.] 를 citric acid [C₃H₄(OH)(COOH)₃·H₂O, Ducksan Chem.]와 함께 중류수에 충분히 녹인 후 rotary vacuum evaporator에서 80 °C에서 2시간동안 혼합하고 dehydration하였으며 투명하게 남은 점액을 100 °C에서 24시간동안 건조하여 solid foams을 얻었다. 건조된 전구체를 전기로에 넣고 600 °C에서 4시간동안 소성시켜 Ce_{1-x}Zr_xO₂ 복합금속산화물 촉매를 제조하였다.

제조된 촉매들의 표면특성을 조사하기 위하여 XRD(D/MAX-2500, Rigaku)와 BET(ASAP 2010, Micromeritics)를 이용하여 결정구조를 분석하고 표면적을 측정하였다.

2-2. 실험장치 및 방법

촉매반응실험을 위하여 촉매를 내경이 1/2 inch 석영관의 중심부분에 0.2-0.4 g정도 충진하였으며 촉매입자의 크기는 150 μm이었고 반응기의 온도조절은 전기로와 온도제어기를 사용하여 조절하였다. 반응물인 SO₂와 CO가스의 유량은 보정된 mass flow controller(Brooks MFC 5850E)를 사용하여 CO/SO₂ 몰비를 2.0으로 조절하여 총 유량을 100-200 ml/min으로 하였다. 반응기 출구부분에는 생성된 원소 황을 포집할 수 있도록 황-트랩을 장착하였으며 기체상태의 반응물과 생성물은 열전도도검출기(TCD: thermal conductivity detector)가 장착된 기체크로마토그래프(gas-chromatograph)를 온-라인으로 연결하여 분석하였다. Ce/Zr

의 함량비를 변화시킨 Ce_{1-x}Zr_xO₂촉매에 대하여 반응온도를 400-450 °C, 공간속도(GHSV)를 10,000-70,000 h⁻¹로 변화시키면서 SO₂의 redox 반응에 의한 전화율과 원소 황 선택도를 조사하였다. SO₂ 전환율과 원소 황 선택도는 식 (3)과 식 (4)와 같이 정의하였다.

$$\text{SO}_2 \text{ conversion} = \frac{[\text{SO}_2]_{in} - [\text{SO}_2]_{out}}{[\text{SO}_2]_{in}} \times 100 \quad (3)$$

$$\text{Sulfur selectivity} = \frac{[\text{SO}_2]_{in} - [\text{SO}_2]_{out} - [\text{COS}]_{out}}{[\text{SO}_2]_{in} - [\text{SO}_2]_{out}} \times 100 \quad (4)$$

2-3. TPR/산화 실험

촉매의 redox 반응특성으로 산화 및 환원특성을 각각 CO-TPR (temperature programmed reduction)과 SO₂-산화실험으로 조사하였다. TPR/산화 실험은 Cahn-Balance를 이용하여 산화 및 환원에 의한 촉매의 무게변화로부터 산화/환원 정도를 분석하였다. TPR 실험은 CO분위기에서 반응기 온도를 상온에서 800 °C까지 6 °C/min의 속도로 승온하여 온도에 대한 무게감소로부터 촉매의 환원온도와 환원정도를 측정하였다. 이 때 4 vol% CO(balance N₂)를 50 ml/min의 유속으로 흘려주었다. 산화실험은 SO₂ 분위기에서 반응기 온도를 425 °C로 고정한 후 무게증가로부터 촉매의 산화속도와 산화정도를 측정하였다. 이 때 2 vol% SO₂(balance N₂)를 50 ml/min의 유속으로 흘려주었다. 실험전 Cahn-Balance bowl에 촉매를 0.1 g정도 넣고 250 °C에서 2시간동안 N₂ 분위기에서 전처리 하였다.

환원정도는 CeO₂의 이론적인 환원량에 대한 환원반응에 의한 실제무게감소량을 백분율로 계산하였으며 식 (5)와 같이 정의하였다. 그리고 산화정도는 환원시킨 촉매(W₀)에 대하여 산화반응 후 촉매의 무게(W)를 백분율로 계산한 값으로 식 (6)과 같이 나타내었다.

$$\text{환원정도(degree of reduction)} = \frac{\text{무게감소량}}{\text{CeO}_2 \text{ 함량} \times \frac{\text{O}_2 \text{ 분자량}}{\text{CeO}_2 \text{ 분자량}}} \times 100 \quad (5)$$

$$\text{산화정도(degree of oxidation)} = \frac{W - W_0}{W_0} \times 100 \quad (6)$$

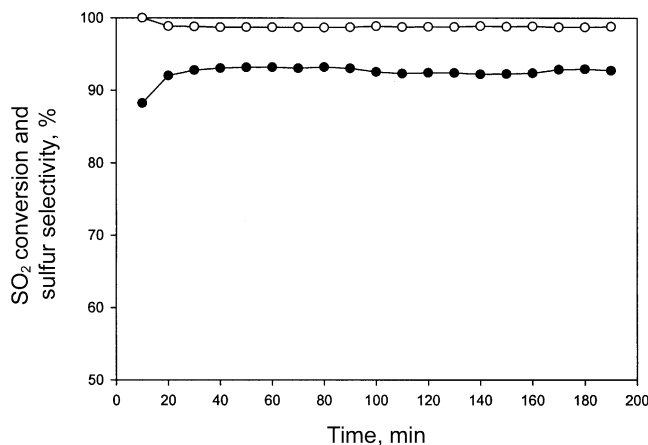
3. 결과 및 고찰

3-1. Ce_{1-x}Zr_xO₂ 촉매의 온도에 대한 반응성

Ce/Zr의 함량비를 변화시켜 제조한 Ce_{1-x}Zr_xO₂ 촉매를 사용하여 환원제인 CO와 반응물 SO₂를 화학반응양론비(CO/SO₂=2.0)로 혼합하고 공간속도(GHSV) 30,000 h⁻¹에서 반응실험을 수행하였다. 각각의 촉매에 대하여 반응온도 400, 425, 450 °C에서 실험한 결과를 Table 1에 나타내었다. 반응온도 400 °C에서 모든 Ce_{1-x}Zr_xO₂ 촉매의 SO₂ 전환율이 10%이하로 매우 낮았으며 425 °C에서는 순수한 CeO₂는 SO₂ 전환율이 20%이하로 낮았으나 Zr의 함량비가 0.2, 0.5인 Ce_{0.8}Zr_{0.2}O₂과 Ce_{0.5}Zr_{0.5}O₂ 촉매는 SO₂ 전환율이 약 93%정도로 아주 높았다. 반면 Zr의 함량비가 0.8인 촉매에서는 SO₂ 전환율은 40%정도로 반응성이 낮았다. 450 °C에서 CeO₂ 촉매에서의 SO₂ 전환율은 68%정도로, 온도 증가에 따라 점차 전환율이 증가되었다. ZrO₂를 제외한 각각의 촉매들은 반응온도가 높아짐에 따라 SO₂ 전환율이 증가되었으며 특히, 동일한 반응온도에서 Ce_{1-x}Zr_xO₂ 촉매의 Zr 함량비가 0.2, 0.5인 촉매에서의 전환율이 더 높았다. 순수한 CeO₂에 Zr이 첨가됨에 따라 반응성이 향상되었지만 활성을 가진 Ce보다 Zr 첨가량이 더 크게 증가함에 따라 SO₂ 전환율은 낮아지는 것으로 나타났다. 이러한 결과는 적당량의 Zr이 Ce-based 촉매에 첨가되어 격자산소의 이동성(oxygen mobility)에 영향을 주어 SO₂전환율이 증가되며, Zr이 더 많이 첨가되면 상대적으로 촉매 활성을 가진 Ce의 함량이 줄어들기 때문에 오히려 SO₂환원반응의 활성이 저하됨을

Table 1. Effect of reaction temperature on the SO₂ conversion and the sulfur selectivity of Ce_{1-x}Zr_xO₂

| Catalysts | BET surface area (m ² /g) | Reaction temperature (°C) | | | | | |
|--|---|---------------------------|-----------|----------|-----------|----------|-----------|
| | | 400 | | 425 | | 450 | |
| | | Conv.(%) | Selec.(%) | Conv.(%) | Selec.(%) | Conv.(%) | Selec.(%) |
| CeO ₂ | 10.6 | 1.4 | 100 | 16.6 | 100 | 68.5 | 97.9 |
| Ce _{0.8} Zr _{0.2} O ₂ | 27.3 | 3.6 | 100 | 92.7 | 98.8 | 93.5 | 98.4 |
| Ce _{0.5} Zr _{0.5} O ₂ | 55.9 | 2.7 | 100 | 92.6 | 98.7 | 93.3 | 98.4 |
| Ce _{0.2} Zr _{0.8} O ₂ | 56.2 | 3.7 | 100 | 39.1 | 97.5 | 91.0 | 98.5 |
| ZrO ₂ | 39.6 | 0.1 | 100 | 0.1 | 100 | 0.8 | 100 |

**Fig. 1. Long-term stability on the SO₂ conversion and sulfur selectivity of the SO₂ reduction by CO over Ce_{0.8}Zr_{0.2}O₂ catalyst (425 °C, 30,000 h⁻¹ (GHSV)), (●: conversion, ○: selectivity).**

시사하고 있다. 한편 Zr첨가에 따른 촉매의 표면적 변화와 SO₂ 전환율과 상관관계를 비교하였으나 Zr함량이 증가할수록 촉매의 표면적이 27.3, 55.9, 56.2 m²/g으로 증가하였으나 SO₂ 전환율의 변화정도와는 일치하지 않았다.

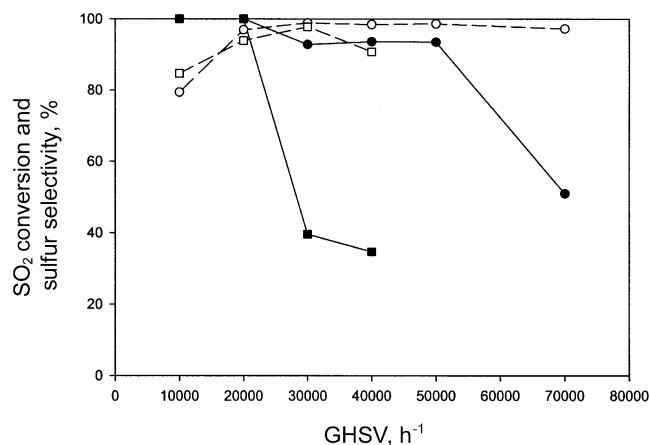
이상의 결과로 볼 때 SO₂ 환원을 위한 촉매반응의 활성은 CeO₂의 함량, Zr첨가에 따른 격자산소의 이동성이 촉매활성에 큰 영향을 미치는 것을 알 수 있었다.

전환율이 가장 높았던 Ce_{0.8}Zr_{0.2}O₂ 촉매를 이용하여 반응온도 425 °C에서 200 min 동안 SO₂ 전환율과 원소 황의 선택도를 Fig. 1에 나타내었다. 425 °C에서 SO₂ 전환율이 93% 정도로 높게 유지되었으며 원소 황의 선택도 역시 98% 이상으로 아주 높게 유지되었다. CO에 의한 SO₂ 환원반응을 200 min 동안 진행하였으며 비활성화는 관찰되지 않았고 부반응으로 미량의 COS가 생성되었다. COS 생성의 경우 redox 반응기구로는 이론적으로 생성될 수 없으나 생성된 원소 황(Si)이 반응물인 CO와 반응하여 COS가 생성하는 것으로 판단된다.

반응전·후로 촉매의 물성변화에 대해서 알아보기 위하여 XRD 분석을 수행하였다. Ce_{0.8}Zr_{0.2}O₂ 촉매의 반응전·후의 XRD 분석결과로 반응전·후로 결정구조의 변화를 관찰할 수는 없었다.

3-2. 공간속도 변화에 따른 반응특성

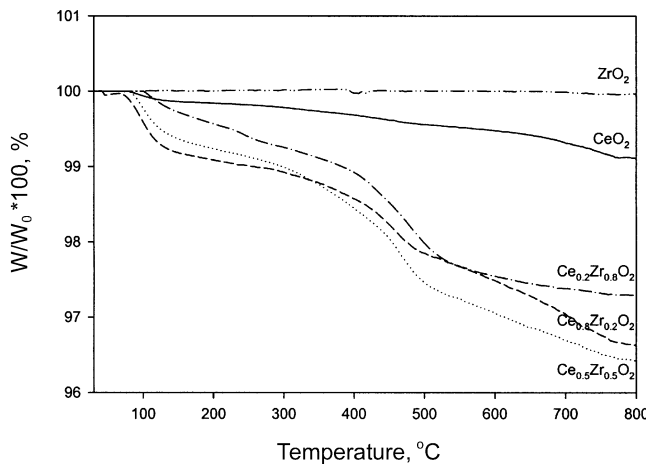
Ce_{0.8}Zr_{0.2}O₂, Ce_{0.2}Zr_{0.8}O₂ 두 촉매를 사용하여 공간속도에 따른 CO에 의한 SO₂ 환원반응성을 조사하였다. 반응온도는 425 °C, 반응물은 화학반응양분비(CO/SO₂=2.0)로 고정하고 공간속도(GHSV)만 10,000-70,000 h⁻¹로 변화시켜 실험을 수행하였으며, 실험결과로 SO₂ 전환율과 원소 황선택도를 각각 Fig. 2에 나타내었다. 두 촉매 모두 공간속도가 10,000, 20,000 h⁻¹에서는 SO₂ 전환율이 100% 이었지만, 30,000, 40,000 h⁻¹에서 Ce_{0.2}Zr_{0.8}O₂ 촉매는 SO₂ 전환율이 40%이하로 급격히 감소한 반면에 Ce_{0.8}Zr_{0.2}O₂ 촉매는 50,000 h⁻¹까지 SO₂ 전환율이 90%이상으로 유지되

**Fig. 2. Effect of space velocity on the SO₂ conversion and sulfur selectivity of the SO₂ reduction by CO over Ce_{0.8}Zr_{0.2}O₂, Ce_{0.2}Zr_{0.8}O₂ catalysts (425 °C, (filled symbols: conversion, open symbols: selectivity)), (●: Ce_{0.8}Zr_{0.2}O₂, ■: Ce_{0.2}Zr_{0.8}O₂).**

었다. 공간속도 변화에 따른 Ce_{0.8}Zr_{0.2}O₂ 촉매의 원소 황 선택도는 공간속도 10,000 h⁻¹일때는 80% 정도였으나 20,000-70,000 h⁻¹까지 95% 이상으로 유지되었다. Ce_{0.2}Zr_{0.8}O₂ 촉매의 원소 황 선택도는 공간속도 30,000 h⁻¹에서 95% 정도로 최대 값을 나타내었지만 30,000 h⁻¹이하 또는 이상의 공간속도에서는 상대적으로 낮은 원소 황 선택도를 나타내었다. 공간속도에 따른 CO에 의한 SO₂ 환원반응에서 SO₂ 전환율과 원소 황 선택도를 기준으로 조사한 결과 Ce_{0.8}Zr_{0.2}O₂ 촉매가 공간속도 50,000 h⁻¹정도까지 반응성이 높게 유지되었다. 즉, Ce_{1-x}Zr_xO₂ 촉매에서 Zr의 함량이 증가할수록 높은 공간속도 범위에서는 반응활성이 저하됨을 확인할 수 있었다.

3-3. Ce_{1-x}Zr_xO₂ 촉매의 환원 특성

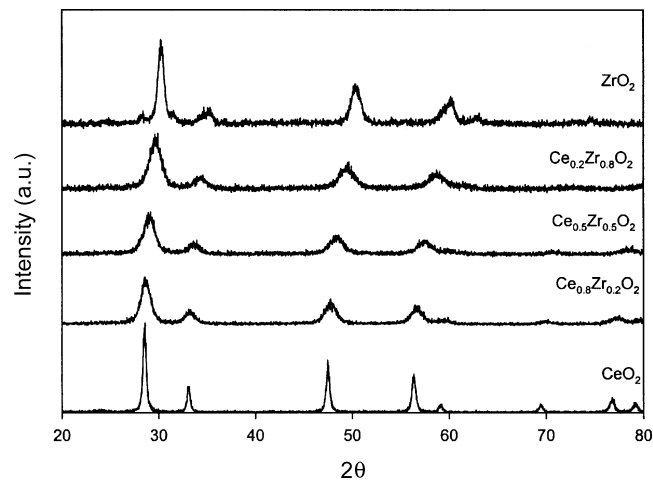
Ce-based 촉매의 redox 반응기구에서 활성점은 비어있는 격자산소자리라고 앞서 제시한 바 있다. 촉매의 격자산소는 환원체인 CO에 의해 환원되어 비어있는 산소자리가 만들어지며 비어있는 산소자리에 SO₂의 산소가 제공되어 촉매격자는 재산화되며 SO₂는 환원되어 원소 황이 생성되는 반응기구이다. 즉 CO에 의해 만들어지는 비어있는 격자산소자리가 많을수록 촉매활성은 증가된다. 본 연구에서 제조한 Ce-based 촉매인 Ce_{1-x}Zr_xO₂ 촉매의 CO에 의한 환원특성을 조사하기 위하여 TPR 실험을 수행하였다. 순수한 CeO₂와 Zr의 함량을 조절하여 첨가한 Ce_{0.8}Zr_{0.2}O₂, Ce_{0.5}Zr_{0.5}O₂, Ce_{0.2}Zr_{0.8}O₂ 그리고 순수한 ZrO₂ 촉매를 승온환원시킨 결과를 Fig. 3에 나타내었다. 순수한 CeO₂ 촉매는 약 100 °C에서부터 매우 천천히 환원에 의한 무게감소가 진행되어 800 °C에서 초기무게의 0.8%정도만 감소되었다. ZrO₂는 800 °C까지 거의 무게감소가 관찰되지 않았는데, 환원이 전혀 일어나지 않은 것으로 판단된다. 순수한 CeO₂와 ZrO₂ 촉매를 제외한 나머지 Ce_{1-x}Zr_xO₂ 촉매는 100 °C 부근에서 천천히 무게감소가 시작되어 425 °C 부근에서 급격하게 무게감소

Fig. 3. TPR profiles of Ce_{1-x}Zr_xO₂ catalysts.

가 관찰되었다. 100 °C 부근에서부터 천천히 무게감소가 진행되는 것은 CO에 의한 촉매표면 산소의 환원에 의한 것이며, 425 °C에서 급격하게 일어난 무게감소는 촉매격자산소의 환원이 진행된 것으로 판단된다. 이와 같은 결과는 반응온도에 따른 SO₂ 환원 전환율이 425 °C정도에서 최대값을 가지는 것과 무관하지 않으며 Ce-based 촉매를 이용한 SO₂ 환원반응이 redox 반응기구에 의해서 일어남을 재확인시켜주는 결과라 하겠다.

촉매의 조성이 CeO₂인 촉매의 환원이 상대적으로 매우 적게 일어났는데 비하여 ZrO₂가 전혀 환원되지 않았는데도 불구하고 Zr이 첨가된 촉매들은 환원이 잘 진행되었다. Zr의 첨가량에 따른 CeO₂의 환원정도를 관찰하기 위하여 TPR 실험에서 측정된 무게감소량을 CeO₂의 함량을 기준으로 이론적으로 환원에 의한 무게감소에 대하여 실제무게감소량을 계산하여 각 촉매의 환원정도를 Fig. 4에 나타내었다. Zr의 첨가에 따른 촉매의 환원정도를 비교한 결과 Zr의 함량이 가장 많은 Ce_{0·₂}Zr_{₀·₈}O_₂ 촉매의 환원율이 가장 높았다. 이러한 결과는 Zr의 첨가에 의해서 격자산소의 이동성이 증가되어 Ce-based 촉매의 격자산소 환원특성을 향상 시켜주는 것으로 판단된다. Fornasiero 등[11-15]은 Ce-Zr mixed oxide에서 sub-lattice의 결정구조가 일그러짐에 의해 격자산소의 이동성이 증가하고 환원 분위기에서 촉매 표면의 격자산소뿐만 아니라 촉매 내부의 격자산소도 표면으로 이동하여 환원된다고 보고 한 바 있다.

결정구조의 일그러짐을 알아보기 위하여 제조된 Ce_{1-x}Zr_xO₂ 촉매로 XRD 분석을 수행하였으며 분석 결과를 Fig. 5에 나타내었다. Zr 첨가

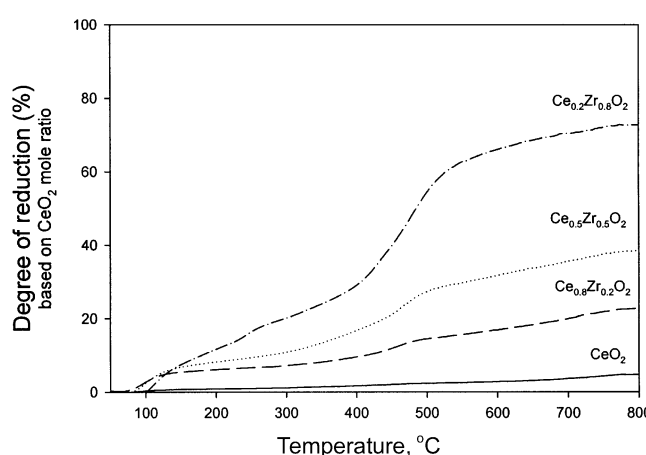
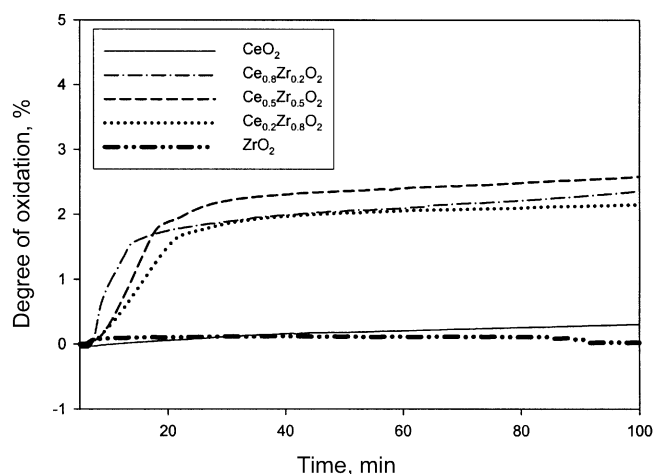
Fig. 5. XRD patterns of Ce_{1-x}Zr_xO₂ catalysts calcined at 600 °C.

량이 증가함에 따라 fluorite 구조의 입방정계가 정방정계로 바뀌는 것이 관찰되었다. 이는 Ce⁴⁺의 양이온 반경이 Zr⁴⁺ 양이온 반경보다 크기 때문에 Ce^{4+o} Zr⁴⁺으로 치환됨으로써 결정구조가 일그러지기 때문으로 알려져 있다[16].

즉, CeO₂ 단독으로 있을때는 촉매표면 산소만이 환원되어 환원율이 낮은 것에 비해 Ce_{1-x}Zr_xO₂ 복합금속산화물로 존재 할 때는 촉매 내부의 격자산소까지 환원되어 환원율이 높고 SO₂ 환원반응에 활성점으로 작용하는 비어있는 격자산소자리가 많을수록 반응성이 향상됨을 확인할 수 있었다.

3-4. Ce_{1-x}Zr_xO₂ 촉매의 SO₂에 의한 산화 특성

Redox 반응기구에서 격자산소가 환원되어 생긴 빈 격자산소 자리에 SO₂의 산소를 공급하여 산화되는 특성을 조사하였다. CO를 이용하여 425 °C에서 Ce_{1-x}Zr_xO₂ 촉매를 5시간동안 환원시켜 빈격자산소 자리를 만든 후 2 vol% SO₂를 50 ml/min의 유속으로 흘려 촉매를 산화시켰다. 환원된 촉매의 SO₂에 의한 산화로부터 촉매의 무게 증가곡선을 Fig. 6에 나타내었다. CeO₂ 촉매와 ZrO₂은 환원된 정도가 적었기 때문에 산화에 의한 무게증가가 거의 없었다. 그러나 CeO₂에 Zr를 첨가한 Ce_{1-x}Zr_xO₂ 촉매는 모두 산화반응 후 10-15 min 지난 후 평형에 도달하는 정도로 반응속도가 빠른 것으로 나타났다. 본 연구의 실험과정에서 환원된 Ce_{1-x}Zr_xO₂ 촉매의 산화가 공기분위기의 상온에서조차도 진행됨을 확인하였다.

Fig. 4. Degree of reduction of Ce_{1-x}Zr_xO₂ based on CeO₂ mole ratio.Fig. 6. Degree of oxidation of Ce_{1-x}Zr_xO₂ catalysts.

촉매의 산화속도는 Ce의 함량이 높은 $\text{Ce}_{0.8}\text{Zr}_{0.2}\text{O}_2 > \text{Ce}_{0.5}\text{Zr}_{0.5}\text{O}_2 > \text{Ce}_{0.2}\text{Zr}_{0.8}\text{O}_2$ 의 순으로 빠르게 나타났다. 즉 촉매의 환원된 양이 많으면 많을수록 촉매활성이 높은 것으로 나타났으며 Zr의 함량에 역순인 것으로 나타났다. 이러한 결과로 촉매의 산화속도는 Zr의 함량보다는 오히려 Ce의 함량에 의존한다고 볼 수 있다. 결론적으로 CeO_2 의 산소 저장성이 redox 반응기구의 반응활성을 결정하며 Zr는 격자산소의 이동성을 항상시켜주는 역할을 하는 것으로 확인된다.

본 연구에서 조사한 촉매의 산화 및 환원특성을 비교하면 환원은 비교적 높은 온도인 425 °C 정도에서 진행되며 산화는 상온에서조차도 일어나며 SO_2 환원을 위한 최적 반응온도인 425 °C에서는 아주 빠르게 진행되었다. 촉매의 산화와 환원의 온도차는 반응에 필요한 활성화 에너지의 차이라고 할 수 있으며 산화에 비하여 환원에 필요한 활성화 에너지가 높을 경우 상대적으로 산화가 쉽게 일어나며 환원된 촉매의 SO_2 환원력이 강하여 SO_2 환원으로부터 원소 황의 생성이 유리할 것이다. 즉 $\text{Ce}_{1-x}\text{Zr}_x\text{O}_2$ 촉매의 redox 반응특성에서 촉매의 산화 및 환원정도가 전체반응에 많은 영향을 미침을 알 수 있다.

4. 결 론

$\text{Ce}_{1-x}\text{Zr}_x\text{O}_2$ 복합금속산화물 촉매를 이용하여 CO에 의한 SO_2 환원반응에서 아래와 같은 결론을 얻었다.

(1) 425 °C 반응온도에서 $\text{Ce}_{0.8}\text{Zr}_{0.2}\text{O}_2$ 가 SO_2 전환율이 93%로 높은 반응성을 얻었다.

(2) $\text{Ce}_{0.8}\text{Zr}_{0.2}\text{O}_2$ 촉매를 425 °C에서 공간속도 변화에 따른 반응성 실험결과 공간속도가 20,000-50,000 h^{-1} 에서 약 93%의 SO_2 전환율, 95% 이상의 원소 황 선택도를 나타내며 높은 반응활성을 보였다.

(3) CO에 의한 TPR 실험결과 CeO_2 단독으로 존재할 때 보다 $\text{Ce}_{1-x}\text{Zr}_x\text{O}_2$ 복합금속산화물로 존재할 경우 Ce^{4+} 환원률 및 산소이동성이 증가하는 것으로 나타났다.

(4) 환원된 $\text{Ce}_{1-x}\text{Zr}_x\text{O}_2$ 촉매의 산화는 상온에서부터 일어나며 산화속도가 매우 빠른 것으로 나타났는데 SO_2 의 환원반응은 격자산소의 환원정도가 반응성을 결정하는 중요한 변수인 것으로 조사되었다.

$\text{Ce}_{1-x}\text{Zr}_x\text{O}_2$ 복합금속산화물 촉매는 Zr 첨가에 따라 결정구조의 일그러짐에 따라 촉매표면의 격자산소뿐만 아니라 촉매 내부의 격자산소도 환원이 가능하며 환원된 빈 산소자리는 SO_2 를 환원시켜 원소 황으로 전환하는 활성점 역할을 하는 것으로 나타났으며 반응활성은 빈 격자산소 자리의 빈도이며 Zr의 함량이 증가함에 따라 CeO_2 의 환원율이 증가하는 것으로 나타났다. CeO_2 의 함량과 Zr의 첨가량을 적절히 조절함으로써 SO_2 환원반응에 대한 최대 효율을 가지는 촉매를 제조할 수 있을 것으로 판단된다. 본 연구에서는 $\text{Ce}_{0.8}\text{Zr}_{0.2}\text{O}_2$ 및 $\text{Ce}_{0.5}\text{Zr}_{0.5}\text{O}_2$ 촉매를 SO_2 를 환원시켜 원소 황으로 전환시키기 위한 최적 촉매로 선정하였다.

감 사

본 연구는 과학기술부의 국가지정연구실 사업에 의해 수행되었으며 연구비 지원에 감사드립니다.

참고문헌

- Lee, T. J., Park, N. K., Kim, J. H., Kim, K. S., Park, Y. W. and Yi, K. K., "Removal of H_2S by Zinc-Based Sorbents from High Temperature

Coal-Derived Gases," *HWAHAK KONGHAK*, **34**(4), 435-442(1996).

- Doumani, T. F., Deery, R. F. and Bradley, W. E., "Recovery of Sulfur from Sulfur Dioxide in Waste Gases," *Ind. Eng. Chem.*, **36**(4), 329-332(1944).
- Khalaftalla, S. E., Foerster, E. F. and Hass, L. A., "Catalytic Reduction of Sulfur Dioxide on Iron-Alumina Bifunctional Catalysts," *Ind. Eng. Chem. Prod. Res. Dev.*, **10**(2), 133-137(1971).
- Park, J. H. and Han, J. D., "The Catalytic Reduction of Sulfur Dioxide to Elemental Sulfur over Supported Cobalt Catalysis," *J. Korean Ind. Eng. Chem.*, **10**(8), 1129-1135(1999).
- Sarlis, J. and Berk, D., "Reduction of Sulfur Dioxide with Methane over Activated Alumina," *Ind. Eng. Chem. Res.*, **27**(10), 1951-1954(1988).
- Lepsoe, R., "Chemistry of Sulfur Dioxide Reduction," *Ind. Eng. Chem.*, **30**(1), 92-100(1938).
- Lepsoe, R., "Chemistry of Sulfur Dioxide Reduction, Kinetics," *Ind. Eng. Chem.*, **32**(7), 910-918(1940).
- Bagllo, J. A., "Lanthanum Oxysulfide as a Catalyst for the Oxidation of CO and COS by SO_2 ," *Ind. Eng. Chem. Prod. Res. Dev.*, **21**(1), 38-41(1982).
- Liu, W., Sarofim, A. F. and Flytzani-Stephanopoulos, M., "Reduction of Sulfur Dioxide by Carbon Monoxide to Elemental Sulfur over Composite Oxide Catalysts," *Appl. Catal. B*, **4**, 167-186(1994).
- Liu, W. and Flytzani-Stephanopoulos, M., *Environmental Catalysis*, ed. J. N. Armor, ACS Symposium Series 552, Am. Chem. Soc., Washington, D. C., 375(1994).
- Fornasiero, P., Balducci, G., Di Monte, R., Kapar, J., Sergio, V., Gubitoso, G., Ferrero, A. and Graziani, M., "Modification of the Redox Behaviour of CeO_2 Induced by Structural Doping with ZrO_2 ," *J. Catal.*, **164**, 173-183(1996).
- Trovarelli, A., Zamar, F., Llorca, J., De Leitenburg, C., Dolcetti, G. and Kiss, J. T., "Nanophase Fluorite-Structured $\text{CeO}_2\text{-ZrO}_2$ Catalysts Prepared by High-Energy Mechanical Milling," *J. Catal.*, **169**, 490-502(1997).
- Kozlov, A. I., Kim, D. H., Yezerets, A., Andersen, P., Kung, H. and Kung, M., "Effect of Preparation Method and Redox Treatment on the Reducibility and Structure of Supported Ceria-Zirconia Mixed Oxide," *J. Catal.*, **209**, 417-426(2002).
- Fornasiero, P., Di Monte, R., Rango, R. G., Kapar, J., Meriani, S., Trovarelli, A. and Graziani, M., "Rh-Loaded $\text{CeO}_2\text{-ZrO}_2$ Solid-Solutions as Highly Efficient Oxygen Exchangers: Dependence of the Reduction Behavior and the Oxygen Storage Capacity on the Structural-Properties," *J. Catal.*, **151**, 168-177(1995).
- Seo, E. S., Park, N. K., Chang, W. C., Lee, T. J. and Lee, B. G., "Direct Synthesis of Dimethyl Carbonate by $\text{Ce}_{1-x}\text{Zr}_x\text{O}_2$ Catalysts," *J. Korean Ind. Eng. Chem.*, **13**(3), 241-246(2002).
- Otsuka, K., Wang, Y. and Nakanura, M., "Direct Conversion of Methane to Synthesis Gas Through Gas-Solid Reaction Using $\text{CeO}_2\text{-ZrO}_2$ Solid Solution at Moderate Temperature," *Appl. Catal. A*, **183**, 317-324(1999).